

Ограничимся приведенным примером, так как аналогичные рассуждения могут быть проведены в случае любой диссипативной системы первого порядка.

Поскольку изоскоростные разрывы (тангенциальный, альфеновский) не могут принадлежать ударной волне, фазовые скорости идеальных систем, соответствующих диссипативным системам с отличными от нуля коэффициентами вязкости, должны быть особыми [12].

Авторы выражают благодарность Г. Я. Любарскому за обсуждение затронутых в работе вопросов.

Поступила 28 XI 1977

ЛИТЕРАТУРА

1. Ландау Л. Д., Лишинц Е. М. Механика сплошных сред. М., ГИТГЛ, 1954.
2. Маршалл У. Структура магнитно-гидродинамических ударных волн.— В кн.: Проблемы современной физики. Вып. 7. М., «Наука», 1957.
3. Щепляев В. И. Изотермический скачок в магнитной гидродинамике.— ЖЭТФ, 1960, т. 38, вып. 1.
4. Дементий О. И., Дементий С. В. О структуре быстрых МГД ударных волн.— «Магнитн. гидродинамика», 1968, № 3.
5. Дементий О. И., Дементий С. В. О существовании разрыва в профиле медленной ударной МГД волны.— ПМТФ, 1971, № 2.
6. Голицын Г. С., Станюкович К. П. Некоторые вопросы магнитогазодинамики с учетом конечной проводимости.— ЖЭТФ, 1957, т. 33, вып. 6.
7. Гусика П. Л., Сухов Г. С. Магнитогазодинамическая ударная волна со скачком проводимости.— «Магнитн. гидродинамика», 1967, № 2.
8. Whitham G. B. Some comments on wave propagation and shock wave structure with application to magnetohydrodynamics.— «Comm. Pure Appl. Math.», 1959, vol. 12, N 1.
9. Куликовский А. Г., Любимов Г. А. Структура наклонной магнитогидродинамической ударной волны.— ПММ, 1961, т. 25, № 1.
10. Любарский Г. Я. О структуре ударных волн.— ПММ, 1961, т. 2, вып. 6.
11. Дементий О. И., Любарский Г. Я. К теории ударных волн малой интенсивности.— «Магнитн. гидродинамика», 1967, № 3.
12. Любарский Г. Я. О существовании ударных волн малой интенсивности.— ПММ, 1962, т. 26, вып. 3.
13. Зельдович Я. Б., Райзер Ю. П. Физика ударных волн и высокотемпературных гидродинамических явлений. М., ГИФМЛ, 1963.
14. Куликовский А. Г., Любимов Г. А. Магнитная гидродинамика. М., ГИФМЛ, 1962.
15. Половин Р. В. Нелинейные магнитогидродинамические волны.— «Дифференциальные уравнения», 1965, т. 1, № 4.
16. Спротина Е. П., Сыроватский С. И. Структура ударных волн слабой интенсивности в магнитной гидродинамике.— ЖЭТФ, 1960, т. 39, вып. 3.

УДК 533.6.011

ОБ ИЗЛУЧЕНИИ, ВОЗНИКАЮЩЕМ ПРИ УДАРЕ О ПРЕГРАДУ СЛОЯ ГАЗА С ОЧЕНЬ БОЛЬШИМИ СКОРОСТЯМИ

B. И. Бергельсон, И. В. Немчинов

(Москва)

В последнее время созданы разнообразные устройства, позволяющие разогнать газ до очень больших скоростей. Укажем для примера на магнитоплазменные компрессоры эрозионного типа [1—5], в которых

удается достичь максимальных скоростей (70—90 км/с) при достаточно высокой плотности газовой струи. При ударе такой струи о препятствие происходит ее торможение, кинетическая энергия газа переходит в его внутреннюю энергию. Поскольку температура нагретого газа становится высокой, лучеиспускание плазмы может стать значительным. Этот эффект уже использовался в экспериментах [4, 5] для увеличения коэффициента преобразования энергии электрической батареи, питавшей плазмодинамический разряд, в энергию излучения. Представляет интерес теоретически оценить основные характеристики нагретого газа и возникающего импульса излучения при различных параметрах струи (скорость, плотность и длина), что могло бы позволить искать их оптимальные значения.

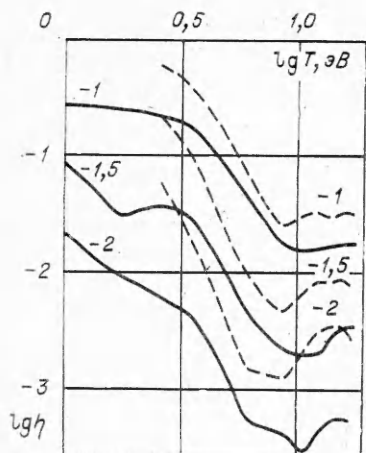
Картина движения и переноса излучения при произвольной форме препятствия и произвольном распределении параметров в струе может быть весьма сложной и для своего описания требовать трудоемкого численного решения двумерной нестационарной радиационно-газодинамической задачи. Однако в некоторых случаях такое явление может протекать в условиях, достаточно близких к одномерной плоской геометрии, например, если струя ударяется в плоское дно вакуумированного цилиндрического «стакана», как бы «вырезающего» ее однородную центральную часть, что имело место в [4], а рассматриваемые времена таковы, что возникающая ударная волна проходит расстояние, меньшее, чем диаметр стакана.

Произведем некоторые оценки параметров нагретой при ударе о препятствие плазмы. Пусть средняя скорость струи ~ 50 км/с, а кинетическая энергия единицы массы газа соответственно $\sim 10^3$ кДж/г. В ударной волне эта кинетическая энергия переходит в тепловую. Для определенности будем считать, что вещество струи — алюминий. Термодинамические свойства алюминиевых паров, в графической форме приведенные в [6], могут быть аппроксимированы выражением

$$e = 5,4T^{1,90}(\rho/\rho_L)^{-0,154},$$

где e — удельная внутренняя энергия, кДж/г; T — температура, эВ; ρ — плотность, г/см³; $\rho_L = 1,20 \cdot 10^{-3}$ г/см³. При плотности набегающей на препятствие газа $\rho \sim 10^{-5}$ г/см³ или плотности за ударной волной $\rho_s \sim 10^{-4}$ г/см³ получаем, что достигнутая температура $T_s \sim 10$ эВ. Плотность гидродинамического потока энергии набегающей струи $q_h = (1/2)\rho u^3$ в данном случае составляет $\sim 10^2$ МВт/см², в то время как плотность потока излучения черного тела $q_b = \sigma T_s^4 \sim 10^{-3}$ МВт/см² (σ — постоянная Стефана — Больцмана). Поэтому отношение $q_b/q_h \sim 10$. Оно характеризует роль излучения лишь для случая, когда ударно-сжатый слой имеет оптическую толщину $\tau \gg 1$. Таким образом, ударная волна для указанных значений скорости и плотности набегающей струи при достаточно большой оптической толщине газа за фронтом является не только интенсивно излучающей, но и «сверхкритической» в терминологии [7]. Однако при не слишком большой толщине ударно-сжатого слоя и плотности газа в нем условие $\tau \gg 1$ не выполняется.

Пусть характерная длина струи ~ 10 см, а ее масса (на единицу площади) $\sim 10^{-4}$ г/см², т. е. кинетическая энергия на единицу площади $\sim 10^2$ Дж/см². Такие параметры характерны для опытов [4, 5]. При указанных выше температурах и плотностях газа за фронтом ударной волны ударно-сжатый слой толщиной ~ 1 см является оптически прозрачным. Это следует из фиг. 1, где представлены зависимости степени η черноты равномерно нагретого слоя толщиной $x = 1$ см от температуры T . Значения логарифмов относительных плотностей $\lg(\rho/\rho_L)$ указаны у соответствующих кривых. Сплошными кривыми даны значения η , полученные при



Фиг. 1

учете лишь непрерывного поглощения, штриховыми — с учетом линий. Видно, что в рассматриваемом диапазоне изменения параметров задачи коэффициент черноты $\eta \sim 0,03$. Таким образом, плотность потока излучения $q_r = \eta \sigma T^4 \sim \sim 30 \text{ МВт}/\text{см}^2$, т. е. $q_r/q_h \sim 0,3$, и роль излучения по-прежнему велика. При уменьшении начальной плотности ρ струи на порядок величина η падает примерно до 10^{-3} , и, несмотря на то, что отношение q_b/q_h увеличивается до 10^2 , отношение q_r/q_h снижается до 0,1. При увеличении плотности на порядок (до 10^{-4} перед фронтом и $10^{-3} \text{ г}/\text{см}^3$ за ним) степень черноты увеличивается до значений, близких к единице. Вместе с тем отношение q_b/q_h падает до 1. Следовательно, имеем $q_r/q_h \sim 1$.

При дальнейшем увеличении плотности относительная роль излучения должна уменьшаться из-за падения q_b/q_h . Кроме того, должен сказываться и эффект экранировки излучения, выходящего с фронта ударной волны.

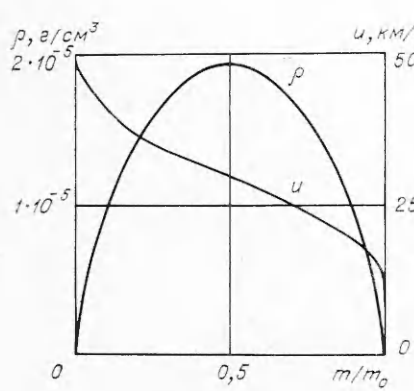
Значительная часть излучения, испускаемого фронтом, принадлежит ультрафиолетовому диапазону и может поглощаться сравнительно холодным набегающим газом. Поэтому перед фронтом ударной волны образуется так называемый прогревый слой [7]. При $q_r/q_h \sim 1$ температура перед фронтом должна быть порядка температуры за ним. Однако в случае сравнительно небольшой плотности газа ρ или небольшой длины струи L , когда масса m слоя невелика, эффект экранировки может быть невелик. В самом деле, при $\rho \sim 10^{-4} \text{ г}/\text{см}^3$ и температуре в прогревом слое $T \sim \sim 4-5 \text{ эВ}$ массовый коэффициент κ поглощения излучения с энергиями квантов $\epsilon \approx 25-70 \text{ эВ}$ составляет в среднем $10^3 \text{ см}^2/\text{г}$. При температуре 7–10 эВ он снижается примерно до $10^2 \text{ см}^2/\text{г}$. Поэтому уже при сравнительно небольшом прогреве газа перед фронтом масса порядка $10^{-3} \text{ г}/\text{см}^3$ оказывается прозрачной для испускаемого излучения. При плотности $10^{-5} \text{ г}/\text{см}^3$, когда набегающий слой газа имеет массу порядка $10^{-4} \text{ г}/\text{см}^3$, он оказывается почти прозрачным для таких квантов даже в холодном состоянии. Следовательно, подавляющая часть испускаемого излучения может уйти «на бесконечность». Слабость эффекта экранировки и возможная прозрачность газа за фронтом при ограниченной массе набегающего газа принципиально отличают данную задачу от подробно рассмотренной в [7] задачи о движении по безграничной среде интенсивно излучающей ударной волны, когда за фронтом имеет место непрозрачность газа, а эффект экранировки велик.

Таким образом, оценки показывают, что при плотностях газа порядка $10^{-4}-10^{-5} \text{ г}/\text{см}^3$ и толщине слоя набегающего газа порядка 10 см испускаемая в вакуум энергия излучения может быть порядка кинетической энергии струи. При уменьшении плотности или ее увеличении по сравнению с приведенными значениями относительная доля излучения может снизиться. В последнем случае лучеиспускание будет происходить в основном лишь при выходе ударной волны на границу набегающего слоя с вакуумом и в стадии последующего разлета. В большую часть периода распространения ударной волны по газу она будет заэкранирована.

Из изложенного следует, что, изменяя плотность набегающего газа, можно изменять коэффициент преобразования кинетической энергии струи

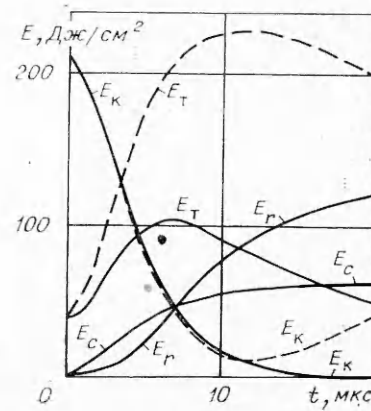
E_k в энергию излучения E_r . Естественно, что положение максимума коэффициента преобразования E_r/E_k по плотности изменяется со скоростью струи и ее длиной. С увеличением длины струи (при неизменной плотности) непрозрачность, а следовательно, и максимум E_r/E_k по плотности устанавливаются при меньших плотностях газа. При увеличении скорости повышается температура газа за фронтом ударной волны и возрастает прозрачность ударно-сжатого слоя, поэтому максимум E_r/E_k по плотности должен наблюдаться при больших плотностях газа или (и) при больших длинах струи. Для того чтобы проверить правильность описанной выше картины радиационно-газодинамических процессов и сделанных оценок основных параметров, рассмотрим некоторые результаты численных расчетов задачи об ударе о плоскую преграду плоского слоя алюминиевых паров, движущихся с большой скоростью.

Благодаря воздействию возникающего излучения на преграду она испаряется. Для простоты считалось, что материалом преграды также является алюминий. В расчетахарьировались начальные значения скорости движения, плотности газа, массы слоя или его длины. Начальное распределение скорости предполагалось линейной функцией расстояния, что характерно для инерционной стадии движения газовой струи в вакууме, когда ее тепловая энергия значительно меньше кинетической. Максимальная температура газа в струе перед ударом составляла 1—2 эВ, что имеет место, например, в условиях некоторых из экспериментов [4, 5]. Начальное распределение плотности газа по длине струи примерно соответствовало этим же экспериментам и было симметричной относительно середины слоя функцией, близкой к синусоидальной. На фиг. 2 представлены начальные распределения скорости и плотности по безразмерной массе слоя m/m_0 (m_0 — полная масса) в одном из вариантов расчета, который условно назовем основным. Аналогичные распределения для других вариантов получены путем подобного растяжения или сжатия по обеим осям. В данном случае максимальная скорость составляла 49 км/с, полная кинетическая энергия $E_k = 212 \text{ Дж}/\text{см}^2$, внутренняя — $E_t = 38 \text{ Дж}/\text{см}^2$, полная масса $m_0 = 4,5 \cdot 10^{-4} \text{ г}/\text{см}^2$, максимальная плотность $1,9 \cdot 10^{-5} \text{ г}/\text{см}^3$, средняя плотность $1,15 \cdot 10^{-5} \text{ г}/\text{см}^3$. По мере движения «свободной» струи за счет ее растяжения плотность падает. В «контрольном» эйлеровом сечении, где в начальный момент времени располагалась голова струи и где впоследствии ставилась преграда, при свободном движении струи в вакууме к моменту времени 4,5 мкс плотность достигала бы максимального значения $1,2 \cdot 10^{-5} \text{ г}/\text{см}^3$, а скорость составляла бы 34 км/с.



Фиг. 2

3*



Фиг. 3

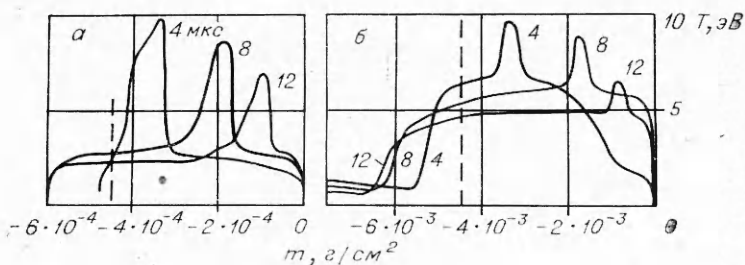
Расчет испарения преграды производился при использовании представлений о волне испарения [8, 9]. Учитывался теплоотвод в глубь конденсированного вещества путем обычной теплопроводности. Газодинамическая часть программы была близка к применявшейся в [8, 9] при исследовании воздействия на преграду монохроматического излучения или в [10] при анализе воздействия излучения сплошного спектра. При расчете переноса излучения проводилось осреднение по частотам в пределах восьми групп, границы которых таковы: 0...2, 0...6, 0...12...18...25...39...68...153 эВ. Как следовало из фиг. 1, при типичных для данной задачи плотностях, температурах и размерах слоя роль линий в переносе излучения невелика. Поэтому линии для простоты не учитывались.

На фиг. 3 показано изменение со временем величин E_k , E_T , E_r , а также E_c — тепловой энергии в конденсированной фазе. Момент времени $t = 0$ соответствует началу соударения струи с преградой. Сплошной линией показана зависимость в расчете с учетом излучения, штриховой — в аналогичном расчете без учета излучения. Видно, что кинетическая энергия изменяется практически одинаковым образом, однако при учете лучистого переноса значительная ее часть переходит в энергию излучения. Так, к 15 мкс, когда ударная волна отходит от преграды на 6 см, потери на излучение в вакуум составляют $\approx 50\%$ от начальной кинетической энергии струи.

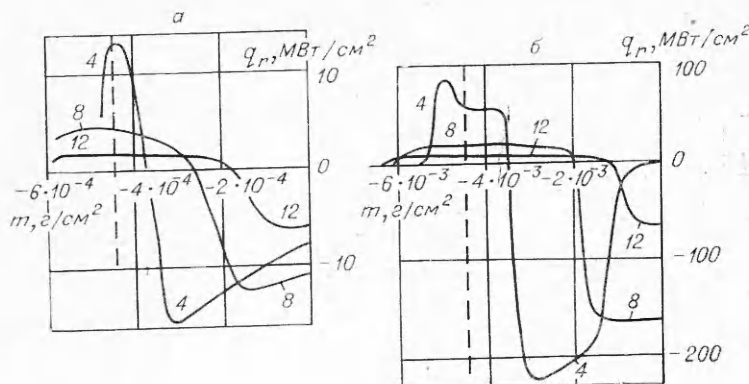
На фиг. 4 показаны распределения температуры T по массовой лагранжевой координате m . Времена t указаны у соответствующих кривых. Фиг. 4, а относится к описанному выше основному варианту, фиг. 4, б — к варианту с начальной плотностью (и массой) струи, увеличенной в 10 раз при неизменных значениях остальных параметров. Штриховой линией отмечена граница паров струи и преграды. На границе с вакуумом $m = 0$.

Распределение температур на фиг. 4, а соответствует случаю сильного высвечивания, носящего объемный характер. За фронтом ударной волны температура быстро снижается из-за лучеиспускания как в сторону вакуума, так и в сторону преграды. Отметим, что в аналогичном расчете без учета излучения распределение температур по массе ударно-сжатого слоя было довольно равномерным.

У преграды образуется плотный и сравнительно холодный слой эрозионных паров, полная масса которого может достигать 50—70% от массы набегающей струи. Прогревный слой перед фронтом ударной волны слабо выражен. Характер распределения температур на фиг. 4, б уже близок к типичному распределению в волне сверхкритической амплитуды [7]. К моменту 8 мкс край прогревного слоя достигает границы с вакуумом. При этом наблюдается максимальный выход излучения.



Фиг. 4



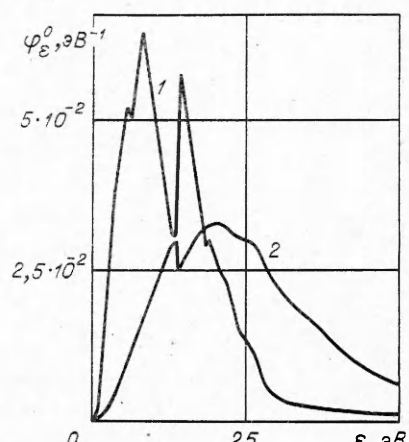
Фиг. 5

Таким образом, при учете радиационных эффектов наблюдаются большие потери энергии на излучение, значительно увеличивается масса паров и изменяется характер распределения параметров, т. е. лучистый перенос является определяющим физическим фактором в рассматриваемой задаче.

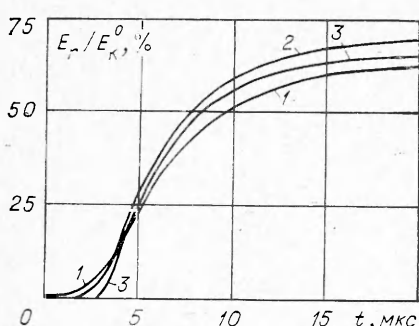
Экранировка излучения, испускаемого в сторону вакуума, для основного варианта слаба, а для второго (с десятикратной плотностью) ударный фронт длительное время практически заэкранирован. Это видно из фиг. 5, где даны распределения плотности потока излучения q_r по массе m в те же моменты времени, что и на фиг. 4. В основном варианте максимальная плотность потока излучения, выходящего в вакуум, достигает 12 МВт/см² к 7 мкс и значительно ниже плотности потока излучения абсолютно черного тела при максимальных температурах за фронтом ударной волны в эти моменты времени. Соответствующая эффективная температура составляет лишь 3,3 эВ и намного меньше истинных температур в плазме. Она того же порядка, что и значения яркостных температур в экспериментах [4, 5]. При увеличении начальной плотности в 10 раз максимальная плотность потока излучения в вакуум возрастает до 200 МВт/см², эффективная температура $\approx 6,7$ эВ и приближается к истинной. Таким образом, увеличение плотности газа струи способствует существенному повышению яркостных температур.

На фиг. 6 представлены спектры φ_ε^0 излучения, выходящего в вакуум в момент $t = 7$ мкс. Кривая 1 соответствует основному варианту, 2 — варианту с десятикратной начальной плотностью. В первом случае спектр довольно далек от планковского, во втором — приближается к нему и является более жестким.

Несмотря на сильное изменение плотности струи в рассмотренном диапазоне ее значений, отношение высвеченной в вакуум энергии E , к начальной кинетической энергии струи



Фиг. 6



Фиг. 7

с основным вариантом относительный вы свет к 15 мкс снижается от 50 до 30%. Сравнительно слабо изменяется зависимость величины E_r/E_k^0 от t/t_* и при изменении максимальной скорости струи в пределах 30—70 км/с для начальной плотности основного варианта ($E_r/E_k^0 \approx 50—60\%$ при $t/t_* \approx 3—4$, t_* — характерное время удара, обратно пропорциональное скорости струи). На фиг. 7 представлено изменение E_r/E_k^0 от t для варианта с плотностью и массой основного варианта (кривая 1), по при скорости 65 км/с, а также для вариантов с плотностью (и массой), увеличенной в 3 и 10 раз (кривые 2 и 3 соответственно). Видно, что и в этом случае величина вы света оказывается устойчивой при изменении плотности, причем наибольший вы свет наблюдается при промежуточном значении максимальной начальной плотности — $6 \cdot 10^{-5}$ г/см³, что и предсказывалось приведенными выше оценками.

Таким образом, оценки и расчет показывают, что на основе удара струи газа о препятствие могут быть созданы весьма интенсивные источники излучения в видимой и ультрафиолетовой областях и в области далекого вакуумного ультрафиолета, а в перспективе (при увеличении скоростей струи) — и ультрамягкого рентгена, причем энергия излучения может быть порядка кинетической энергии струи, длительность импульса излучения — порядка длительности удара.

Авторы выражают благодарность Ю. С. Протасову и А. С. Камрукову за ценные обсуждения в процессе постановки и выполнения данной работы, В. П. Буздину и И. Б. Косареву за предоставление таблиц спектральных коэффициентов поглощения алюминия с учетом линейчатого поглощения.

Поступила 3 X 1977

ЛИТЕРАТУРА

- Козлов Н. П., Лесков Л. В., Протасов Ю. С., Хвесюк В. Н. Экспериментальное исследование плазменного фокуса в ускорителях эрозионной плазмы I, II. — ЖТФ, 1973, т. 43, № 4, с. 740—748; 1974, т. 44, № 12, с. 2519—2521.
- Плазменные ускорители. М., «Машиностроение», 1973.
- Зворыкин В. Д., Кашиков Г. Н., Клементов А. Д., Козлов Н. П., Малащенко В. А., Протасов Ю. С., Розанов В. Б. Излучение плазменного фокуса магнитоплазменного компрессора в видимой и ультрафиолетовой областях спектра. — «Квант. электроника», 1975, т. 2, № 11, с. 2416—2421.
- Камруков А. С., Кашиков Г. Н., Козлов Н. П., Малащенко В. А., Орлов В. К., Протасов Ю. С. О возможности увеличения спектрального КПД плазмодинамических разрядов в видимой и УФ областях спектра. — «Письма в ЖТФ», 1976, т. 2, № 4, с. 176—180.

5. Козлов Н. П., Малащенко В. А., Протасов Ю. С. Излучательные характеристики зоны взаимодействия гиперзвуковых плазменных потоков с преградами в области вакуумного ультрафиолета.— «Журн. прикл. спектроскопии», 1977, т. 27, № 1, с. 28—31.
6. Малаянина Т. Б., Немчинов И. В. Параметры стационарной радиально-симметричной струи паров, нагреваемых излучением.— ПМТФ, 1972, № 5, с. 58—75.
7. Зельдович Я. Б., Райзер Ю. П. Физика ударных волн и высокотемпературных гидродинамических явлений. Изд. 2-е. М., «Наука», 1966.
8. Виленская Г. Г., Немчинов И. В. Численный расчет движения и нагрева излучением ОКГ плазмы, образованной при вспышке поглощения в парах твердого тела.— ПМТФ, 1969, № 6, с. 3—19.
9. Бергельсон В. И., Голуб А. П., Немчинов И. В., Попов С. П. Образование плазмы в слое паров под действием излучения ОКГ на твердое тело.— В кн.: Квант. электроника, № 4 (16). М., «Сов. радио», 1973.
10. Бергельсон В. И., Немчинов И. В., Новикова В. В. «Горение» конденсированного вещества под действием излучения сплошного спектра.— ФГВ, 1975, т. 11, № 5, с. 730—733.

УДК 533.6.011

ЭКРАН ДЛЯ ЗАЩИТЫ ДАТЧИКОВ ОТ МЕХАНИЧЕСКИХ ПРИМЕСЕЙ В ПОТОКЕ ГАЗА

В. И. Алферов, А. С. Бушмин

(Жуковский)

В настоящее время широкое распространение получили установки с электродуговыми нагревателями, поток газа в которых загрязнен механическими примесями, появляющимися из-за эрозии материала электродов, сопла и других элементов конструкции.

Наличие в потоке примесей во многих случаях является нежелательным явлением. Например, исключается возможность использования для исследований в этих установках методов измерений, основанных на регистрации процессов на поверхности измерительного элемента. К таким относится метод каталитических датчиков, применяемый для изучения отклонения состояния газа в потоке от термодинамического равновесия и для изучения каталитических свойств поверхностей. На установках с электродуговыми нагревателями вероятность отклонения состояния газа от равновесного высока из-за неупругого соударения электронов с частицами газа, а также вследствие замораживания состояния газа при расширении его в сопле.

Для исключения влияния механических примесей на исследуемую поверхность целесообразно воспользоваться сепарацией частиц при помощи специальных экранов, работа которых основана на инерционности движения частиц. Течение за экраном должно удовлетворять таким требованиям: быть свободным от примесей, иметь достаточный размер области невозмущенного газодинамического потока, хорошо контролируемой расчетными или экспериментальными методами. В качестве такого течения может быть выбрано течение Прандтля — Майера.

При этом течение около экрана в виде угла не является двумерным. Оно существенно искажается из-за перетекания газа с подветренной стороны экрана, что приводит к образованию вихревых систем с последующим их взаимодействием с набегающим потоком газа. Расчет полной картины течения с учетом трехмерных эффектов весьма затруднен. Поэтому особое внимание обращено на экспериментальное исследование обтекания экранов с применением методов, позволяющих визуализировать трехмерную картину течения и оценить размеры областей, в которых реализуется течение Прандтля — Майера.

Схемы конструктивного решения экранов представлены на фиг. 1, где 1, 2 — державка, 3, 4 — элементы экрана, который представляет собой одну или две пластины. При двух пластинах одна из них ориентирована в направлении потока, а другая расположена под углом к ней.